

perché hanno diverse forme (sette righe / colonne)

- DEF Somme di matrici $A+B$

+ denota addizione tra scalari e matrici
(quindi 2 diverse operazioni)

- DEF $-A$ (inversa additiva) \Rightarrow permette la sottrazione

- DEF Differenza tra matrici $A-B$

- Proprietà delle somme

$$A, B, C \in \mathbb{R}^{m \times n} \text{ (o } m \times n)$$

$$\text{chiusura } A+B \in \mathbb{K}^{m \times n} \quad (\mathbb{K} = \mathbb{R} \vee \mathbb{K} = \mathbb{C})$$

$$\text{associatività } (A+B)+C = A+(B+C)$$

$$\text{commutatività } A+B = B+A$$

$$\text{identità con } 0 \quad A+0 = A$$

$$\text{elemento inverso x addit. (matrici opposte)} \quad (-A)+A = 0$$

- Moltiplicazione x uno scalare

$$\alpha \in \mathbb{K} \quad A \in \mathbb{K}^{m \times n} \quad [\alpha A]_{ij} = [\alpha a_{ij}]$$

proprietà moltip. scalare

$$\text{chiusura } \alpha A \in \mathbb{K}^{m \times n}$$

$$\text{associatività } \alpha [\beta A] = (\alpha \beta) A$$

$$\text{distrib. } \alpha (A+B) = \alpha A + \alpha B$$

$$\text{distrib. } (\alpha + \beta) A = \alpha A + \beta A$$

$$\text{proprietà di identità } 1 A = A$$

- Trasposto $A^T \rightarrow$ scambia righe e colonne
 $(A^T)^T = A$

N.B. Quando $A \in \mathbb{C}^{m \times n}$ l'op. complessa coniugata è accompagnata dall'op. di trasposizione

$$[A^H]_{ij} = [\bar{a}_{ji}] \quad \bar{a} = \operatorname{Re}(a) - i \operatorname{Im}(a)$$

Proprietà della trasposizione

$$(A+B)^T = A^T + B^T$$

$$(A+B)^H = A^H + B^H$$

$$(\alpha A)^T = \alpha A^T$$

$$(\alpha A)^H = \bar{\alpha} A^H$$

dim. banali

Simmetrie

- Matrice simmetrica

$$A \in \mathbb{K}^{n \times n} \quad (\text{quadrata})$$

A è simmetrica

A hermitiana

- antisimmetrica

$$A^T = -A$$

- antihermitiana

$$A^T = A$$

$$A^H = A$$

$$(A = -A^T)$$

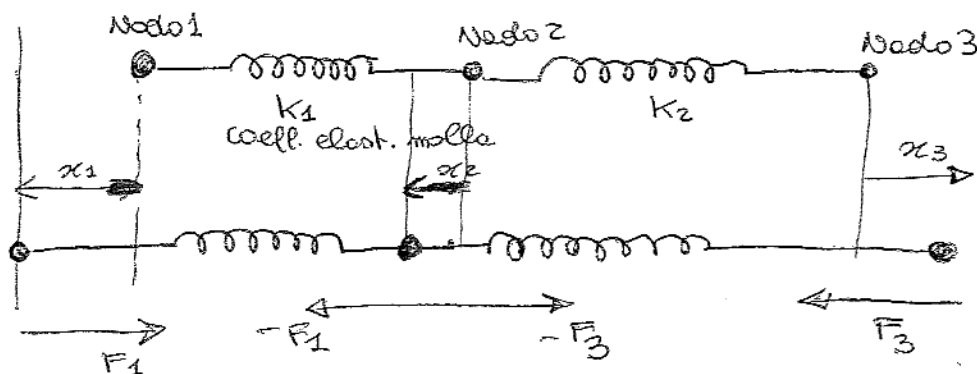
$$A = -A^H$$

concetti di simmetrie
di matrici riflettono
molto spesso simmetrie
fisiche

↓ Esempio

Esempio di simmetrie

2 molle connesse come in figura



Sulla 1 molla non è esercitata alcuna forza (non c'è tensione)

Supponiamo che le molle sono allungate o compresse in modo che i nodi si dispongono come in figura

L'allungamento/compressione crea una forza su ciascun nodo "legge di Hooke" $F = Kx$ forza esercitata sulla molla è direttamente proporzionale allo spostamento subito (o) se il coeff. di proporzionalità K è detto costante di stiffness caratteristica del materiale di costituzione delle molle

Supponendo k_1, k_2 siano i coeff. di stiffness ed F_i le forze sull'i-esimo nodo (quando agisce la compress/allung)
- con la convenzione che lo spostamento a sinistra è positivo ed a destra è negativo
le forze ^{dirette} a destra positive, quelle a sinistra negative

Se il nodo 1 si sposta di x_1 e il nodo 2 di x_2 allora la molla di sinistra avrà subito uno spostamento totale dovuto alle forze F_1 sul nodo 1

$$F_1 = k_1 (x_1 - x_2)$$

Analogamente se il nodo 2 si sposta di una quantità x_2 ed il nodo 3 di una quantità x_3 la molla a destra avrà subito uno spost. totale $x_2 - x_3$ quindi la forza sul nodo 3

$$F_3 = -k_2 (x_2 - x_3)$$

→ forza diretta a sinistra

Forza a sinistra del nodo 2 è opposta a quella alle ~~forze~~ forze sul nodo 1, la forza a ~~destra~~ destra del nodo 2 è opposta a quella del nodo 3

$$F_2 = -F_1 - F_3$$

$$F_2 = -k_1 x_1 + k_1 x_2 + k_2 x_2 - k_2 x_3$$

Organizzando il tutto sotto forma di sist. lineare

$$\begin{aligned} k_1 x_1 - k_1 x_2 &= F_1 \\ -k_1 x_1 + (k_1 + k_2) x_2 - k_2 x_3 &= F_2 \\ -k_2 x_2 + k_2 x_3 &= F_3 \end{aligned}$$

$$\Rightarrow \begin{pmatrix} k_1 & -k_1 & 0 \\ -k_1 & (k_1 + k_2) & -k_2 \\ 0 & -k_2 & k_2 \end{pmatrix} \begin{pmatrix} x_1 \\ x_2 \\ x_3 \end{pmatrix} = \begin{pmatrix} F_1 \\ F_2 \\ F_3 \end{pmatrix}$$



matrice simmetrica

Il punto di questo esempio è che la simmetria del problema fisico si trasferisce nella simmetria della matrice di stiffness K

(se le 2 molle sono uguali $k_1 = k_2 = k$)

1. per def. la moltiplicazione su \mathbb{R} avviene in modo "neurale" (5)

Funzioni lineari

$$f: D \rightarrow \mathbb{R} \rightarrow \text{range di } f$$

\hookrightarrow dominio

una funzione lineare è una particolare funzione caratterizzata da D, \mathbb{R} insiemi che posseggono addizione e moltip. scalare

$$f \text{ lineare} \quad \begin{aligned} f(x+y) &= f(x) + f(y) \\ f(\alpha x) &= \alpha f(x) \end{aligned} \quad \forall x, y \in D$$

Le due condizioni si combinano in una unica prop.

$$f(\alpha x + \beta y) = \alpha f(x) + \beta f(y) \quad \forall \alpha \in \mathbb{R} \quad \forall x, y \in D$$

Es. di funz. lineari \rightarrow rette piane } grafici di funz. lineari

in generale $f(x_1, \dots, x_n) = \alpha_1 x_1 + \alpha_2 x_2 + \alpha_3 x_3 + \dots + \alpha_n x_n$

rappresenta una sup. lineare o "piatta" (flat) passante x l'origine di un sist. di assi coordinati

Traccia di una matrice $m \times n$ (somma degli elementi sulla diagonale)
 $\text{tracce}(A) = \sum_i a_{ii}$ è una funzione lineare

Consideriamo 2 funz. lineari $f, g: \mathbb{R}^2 \rightarrow \mathbb{R}^2$

$$f(x) = f \begin{pmatrix} x_1 \\ x_2 \end{pmatrix} = \begin{pmatrix} ax_1 + bx_2 \\ cx_1 + dx_2 \end{pmatrix} \quad g \begin{pmatrix} x_1 \\ x_2 \end{pmatrix} = \begin{pmatrix} Ax_1 + Bx_2 \\ Cx_1 + Dx_2 \end{pmatrix}$$

componiamo f e g per creare una nuova funz. lineare

$$\begin{aligned} R(x) = f(g(x)) &= f \begin{pmatrix} Ax_1 + Bx_2 \\ Cx_1 + Dx_2 \end{pmatrix} = \begin{pmatrix} a(Ax_1 + Bx_2) + b(Cx_1 + Dx_2) \\ c(Ax_1 + Dx_2) + d(Cx_1 + Dx_2) \end{pmatrix} \\ &= \begin{pmatrix} (aA + bC)x_1 + (aB + bD)x_2 \\ (cA + dC)x_1 + (cD + dD)x_2 \end{pmatrix} \end{aligned}$$

utilizzando la notazione matriciale per rappresentare queste \in funzioni lineari

$$f \rightarrow F = \begin{pmatrix} a & b \\ c & d \end{pmatrix}$$

$$g \rightarrow G = \begin{pmatrix} A & B \\ C & D \end{pmatrix}$$

$$\cancel{f \circ g = F \cdot G = AB}$$

$$h \rightarrow H = \begin{pmatrix} aA + bC & aB + bD \\ cA + dC & cB + dD \end{pmatrix}$$

Che cosa è H ?

H composizione (prodotto) di F e G

$$\begin{pmatrix} a & b \\ c & d \end{pmatrix} \begin{pmatrix} A & B \\ C & D \end{pmatrix} = \begin{pmatrix} aA + bC & aB + bD \\ cA + dC & cB + dD \end{pmatrix}$$

N.B. Il prodotto di 2 matrici rappresenta la composizione delle due funzioni lineari associate

Moltiplicazione tra matrici

$$R = (r_1 \ r_2 \ \dots \ r_n)$$

$$C = \begin{pmatrix} c_1 \\ c_2 \\ \vdots \\ c_m \end{pmatrix}$$

prodotto righe \times colonne "prodotto interno standard"

prodotto scalare tra vettori

$$RC = \sum_{i=1}^n r_i c_i$$

La moltiplicazione tra matrici può essere riformulata in termini di prodotto scalare tra le righe e le colonne di due matrici di dimensioni conformi per la moltiplicazione

$$A \in \mathbb{K}^{m \times p} \quad B \in \mathbb{K}^{p \times n}$$

$$(AB)_{ij} = A(i, :) B(:, j) = A_i \cdot B_{*j} = \sum_{k=1}^p a_{ik} b_{kj}$$

NON COMMUTATIVA

$$AB \neq BA$$

NON VALE LA LEGGE DELL'ANNULLAMENTO DEL PRODOTTO

Righe e colonne della matrice prodotto

(7)

$$A = [a_{ij}] \in \mathbb{K}^{m \times p}$$

$$B = [b_{ij}] \in \mathbb{K}^{p \times n}$$

$$[AB]_{i*} = A_{i*} B \quad (e' i\text{-riga di } AB = (i\text{-riga } A) * B)$$

$$[AB]_{*j} = A B_{*j} \quad (j\text{-col. di } AB) = A * (j\text{-colonna di } B)$$

$$[AB]_{i*} = a_{i1} B_{1*} + a_{i2} B_{2*} + \dots + a_{ip} B_{p*} = \sum_{k=1}^p a_{ik} B_{k*}$$

$$[AB]_{*j} = A_{*1} b_{1j} + A_{*2} b_{2j} + \dots + A_{*p} b_{pj} = \sum_{k=1}^p A_{*k} b_{kj}$$

righe di AB sono combinazione delle righe di B
colonne di AB " " " colonne di A

Proprietà multipl. tra matrici

$$A(B+C) = AB + AC \quad (\text{distributività a sinistra})$$

$$(D+E)F = DF + EF \quad (\text{" " a destra})$$

$$A(BC) = (AB)C \quad (\text{associatività})$$

Matrice identità

$$I = \begin{pmatrix} 1 & \dots & 1 \end{pmatrix}_{m \times m}$$

$$AI = A$$

$$(\forall A \in \mathbb{K}^{m \times n} \quad AI_m = A \wedge I_m A = A)$$

$$(AB)^T = B^T A^T$$

$$(AB)^H = B^H A^H$$

$$\forall A \in \mathbb{K}^{m \times n} \Rightarrow A^T A \wedge A A^T \text{ sono matrici simmetr.}$$

$$\text{tracce}(AB) = \text{tracce}(BA)$$

Matrici a blocchi e loro moltiplicazione

(8)

Siano A, B due matrici di dimensione conforme partizionate a blocchi ovvero in sottomatrici

$$A = \begin{pmatrix} A_{11} & A_{12} & \dots & A_{1r} \\ A_{21} & A_{22} & \dots & A_{2r} \\ \vdots & \vdots & \ddots & \vdots \\ A_{s1} & A_{s2} & \dots & A_{sr} \end{pmatrix} \quad B = \begin{pmatrix} B_{11} & B_{12} & \dots & B_{1t} \\ B_{21} & B_{22} & \dots & B_{2t} \\ \vdots & \vdots & \ddots & \vdots \\ B_{r1} & B_{r2} & \dots & B_{rt} \end{pmatrix}$$

Se ciascuna coppia di blocchi (A_{ik}, B_{kj}) ha dimensione conforme A e B sono dette "partizionate in modo conforme"

$\Rightarrow AB$ può essere partizionate a blocchi e i (i, j) -blocco di AB è dato da

$$A_{i1}B_{1j} + A_{i2}B_{2j} + \dots + A_{ir}B_{rj}$$

Matrice inversa $A \in \mathbb{K}^{n \times n}$ se $\exists B \in \mathbb{K}^{n \times n}$ s.t.

$AB = BA = I \Rightarrow B$ viene detta inversa di A e si denota $B \equiv A^{-1}$

Una matrice invertibile è detta non singolare

Prop. dell'inversa

- $(A^{-1})^{-1} = A$
- A, B sono non singolari $\Rightarrow AB$ è non sing. e $(AB)^{-1} = B^{-1}A^{-1}$
- $(A^{-1})^T = (A^T)^{-1}$ e $(A^H)^{-1} = (A^{-1})^H$
- A_1, A_2, \dots, A_k non singolari $(A_1 \dots A_k)^{-1} = A_k^{-1} A_{k-1}^{-1} \dots A_2^{-1} A_1^{-1}$

Un problema di connessioni aeree

9

- una linea aerea serve 5 città A, B, C, D, e H in cui H è la città hub. Le diverse connessioni tra le città sono illustrate in fig.

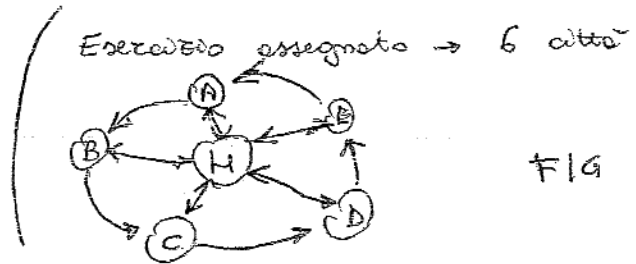
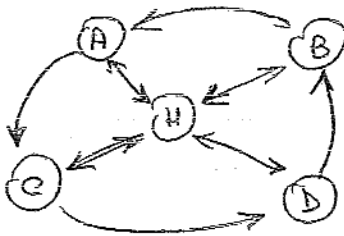


FIG 1

Supponiamo di voler viaggiare da A e B effettuando almeno 2 voli di connessione

Il volo (A → H) e (H → B) fornisce il volo con il # minimo di connessioni. Qualora per motivi di disponibilità di posti non sia possibile utilizzare uno di questi voli

il transito da A e B deve essere effettuato con + voli. Determinare un modello decisionale che vi permetta di indicare quanti modi di connessione tra A e B esistono con esattamente 3, 4, 5 ecc. voli

(grafico piccolo → la risposta può essere data manualmente osservando il graf.)
Suggerimento: Creare la matrice di connessioni

$C = [c_{ij}]$ (matrice di adiacenze)

$$c_{ij} = \begin{cases} 1 & \text{se la città } i \text{ è connessa con la } j \\ 0 & \text{altrimenti} \end{cases}$$

operare sulla matrice C per generare tale modello
Quali operazioni matriciali serve?

- Risoluzione di quello assegnato (FIG 1)

La matrice C è

$$C = \begin{matrix} & \begin{matrix} A & B & C & D & E & H \end{matrix} \\ \begin{matrix} A \\ B \\ C \\ D \\ E \\ H \end{matrix} & \begin{pmatrix} 0 & 1 & 0 & 0 & 0 & 1 \\ 0 & 0 & 1 & 0 & 0 & 1 \\ 0 & 0 & 0 & 1 & 0 & 1 \\ 0 & 0 & 0 & 0 & 1 & 1 \\ 1 & 0 & 0 & 0 & 1 & 1 \\ 1 & 1 & 1 & 1 & 1 & 0 \end{pmatrix} \end{pmatrix}$$

C e le sue potenze C^2, C^3, C^4, \dots forniscono tutte le informazioni necessarie per analizzare il network.

Infatti C_{ik} rappresenta il # di percorsi (voli) diretti dalla città i alla città k , C_{kj} " " " " della città k alla città j , allora $C_{ik}C_{kj}$ rappresenta il # di percorsi con 2 voli dalla città i alla città j attraversando la commersione k .

Quindi l'elemento (i,j) nel prodotto $C^2 = CC$

$$[C^2]_{ij} = \sum_{k=1}^6 C_{ik} C_{kj} = \# \text{ totale di commersioni con 2 voli tra le città } i \text{ e la città } j$$

Analogamente

$$\begin{aligned} [C^3]_{ij} &= C^2 C = \sum_{k=1}^6 (C^2)_{ik} C_{kj} = \sum_{k=1}^6 \left(\sum_{l=1}^6 C_{il} C_{lk} \right) C_{kj} \\ &= \sum_{k,l} C_{il} C_{lk} C_{kj} \\ &= \# \text{ totale di commersioni con 3 voli tra le città } i \text{ e } j \end{aligned}$$

in generale

$$\begin{aligned} [C^m]_{ij} &= \sum_{k_1, k_2, \dots, k_{m-1}=1}^6 C_{ik_1} C_{k_1 k_2} C_{k_2 k_3} \dots C_{k_{m-2} k_{m-1}} C_{k_{m-1} j} \\ &= \# \text{ totale di voli con } m \text{ commersioni tra le città } i \text{ e } j \end{aligned}$$

Il # totale di voli tra le città i e j che non richiedono più di m voli è dato da

$$[C]_{ij} + [C^2]_{ij} + [C^3]_{ij} + \dots + [C^m]_{ij} = [C + C^2 + C^3 + \dots + C^m]_{ij}$$

nel caso particolare del network assegnato

$$C^2 = \begin{bmatrix} 1 & 1 & 2 & 1 & 1 & 1 \\ 1 & 1 & 1 & 1 & 2 & 1 \\ 1 & 1 & 1 & 1 & 1 & 1 \\ 2 & 1 & 1 & 1 & 1 & 1 \\ 1 & 2 & 1 & 1 & 1 & 1 \\ 1 & 1 & 1 & 1 & 1 & 1 \end{bmatrix}$$

$$C^3 = \begin{bmatrix} 2 & 2 & 2 & 3 & 2 & 6 \\ 2 & 2 & 2 & 2 & 3 & 6 \\ 3 & 2 & 2 & 2 & 2 & 6 \\ 2 & 3 & 2 & 2 & 2 & 6 \\ 2 & 2 & 3 & 2 & 2 & 6 \\ 6 & 6 & 6 & 6 & 6 & 5 \end{bmatrix}$$

$$C^4 = \begin{bmatrix} 8 & 8 & 8 & 8 & 9 & 11 \\ 9 & 8 & 8 & 8 & 8 & 11 \\ 8 & 9 & 8 & 8 & 8 & 11 \\ 8 & 8 & 9 & 8 & 8 & 11 \\ 8 & 8 & 8 & 9 & 8 & 11 \\ 11 & 11 & 11 & 11 & 11 & 32 \end{bmatrix}$$

Definiamo segno della permutazione p

il segno dell'ordinamento naturale $\bar{i} + 1$.

$$\det(A) = \sum_p \epsilon(p) a_{1p_1} a_{2p_2} \dots a_{mp_m}$$

N.B. \mathcal{H} det di una matrice rettangolare non è definito

- $\det(A) = \det(A^T)$

- Scambiando la riga i con $j \Rightarrow \det(A) = -\det(A)$

- Sommando α volte la riga i alla riga $j \Rightarrow \det(B) = \det(A)$

$$- \det(I) = 1$$
$$\det \begin{pmatrix} A & B \\ 0 & D \end{pmatrix} = \det(A) \det(D)$$

se A, D quadrados

→ OSS Determinanti vicini a zero non equivale a dire che la matrice è singolare (o almeno non sempre) ovvero non necessariamente il $\det(A)$ è una misura di quanto A è vicina ad una matrice singolare

A2

↓

matrice vicina ad una matrice singolare

DEF Mimote

Sia $A \in \mathbb{R}^{m \times m}$ si dice minore di A il determinante di ogni sottomatrice quadrata $k \times k$ di A

DEF RANK

$\text{rank}(A) = \text{dimensione del più grande minore di } A \text{ diverso da } 0$

Sebbene la definizione del $\det(A)$ è puramente algebrica, ne possiamo fornire una interpretazione geometrica.

Se $\det(A)$ è il volume del parallelepipedo n -dimensionale
definito dalle colonne di A (se $A \in \mathbb{R}^{n \times n}$)
Se $A \in \mathbb{R}^{m \times n}$

$\det(A^T A)^{1/2} = \text{Volume}$

$$\det(A^H) = \overline{\det(A)}$$

Determinante di una matrice a blocchi

A, D metri quadrati

$$\det \begin{bmatrix} A & B \\ C & D \end{bmatrix} = \begin{cases} \det(A) \det(D - CA^{-1}B) & \text{if } A^{-1} \text{ exists} \\ \det(D) \det(A - BD^{-1}C) & \text{if } D^{-1} \text{ exists} \end{cases}$$

le matrici $D - CA^{-1}B$ e $A - BD^{-1}C$ sono detti complementi di Shur di A e D

Spazi vettoriali (Spazi e sottospazi)

(13)

Molte entità matematiche diverse dalle matrici ne condividono alcune proprietà. Per esempio i punti in \mathbb{R}^2 o \mathbb{R}^3 , i polinomi, le funzioni continue, quelle differenziabili ecc. soddisfanno le stesse proprietà additive e di moltiplicazione per uno scalare che abbiamo ricapitolato nella lex precedente.

Pertanto risulterà utile introdurre in modo assiomatico la definizione di spazio vettoriale.

Uno spazio vettoriale richiede 4 cose.

- 2 insiemi: V ed \mathbb{K}
- 2 operazioni algebriche chiamate addizione e multipl. \times uno scalare

V = insieme non vuoto di oggetti che chiameremo vettori
(per noi $V = \mathbb{R}^n$ oppure $V = \mathbb{R}^{m \times n}$)

\mathbb{K} = campo degli scalari $\mathbb{R} \vee \mathbb{C}$

addizione tra vettori $(x+y)$ op. tra elementi di V

moltiplic. scalare (αx) op. tra \mathbb{K} e V

La def. ^{formale} di spazio vettoriale fornisce le interrelazioni tra questi 4 oggetti

DEF V è detto spazio vettoriale su \mathbb{K} quando $+$, \cdot soddisfano le seguenti proprietà

$$\forall x, y \in V \quad x+y \in V \quad (\text{chiusura di } +) \quad A1$$

$$\forall x, y, z \in V \quad (x+y)+z = x+(y+z) \quad A2$$

$$\forall x, y \quad x+y = y+x \quad A3$$

$$\exists 0 \in V \quad \text{e} \quad 0+x = x+0 = x \quad A4$$

$$\forall x \in V \quad \exists (-x) \in V \quad \text{e} \quad x+(-x) = 0 \quad A5$$

$$\alpha x \in V \quad \forall \alpha \in \mathbb{K} \quad \forall x \in V \quad (\text{chiusura della } \cdot) \quad M1$$

$$\forall \alpha, \beta \in \mathbb{K} \quad \forall x \in V \quad (\alpha\beta)x = \alpha(\beta x) \quad M2$$

$$\forall \alpha \in \mathbb{K} \quad \forall x, y \in V \quad \alpha(x+y) = \alpha x + \alpha y \quad M3$$

$$\forall \alpha, \beta \in \mathbb{K} \quad (\alpha+\beta)x = \alpha x + \beta x \quad M4$$

$$\forall x \in V \quad 1x = x \quad M5$$

Esempi $\mathbb{R}^{m \times n}$ è uno spazio vettoriale su \mathbb{R}
 $\mathbb{R}^{n \times 1} \equiv \mathbb{R}^n$ " " " " " \mathbb{R}

(14)

L'insieme dei polinomi con coefficienti reali " " " "

$\mathcal{L} = \{(x, y) \mid y = \alpha x\} \subset \mathbb{R}^2$ spazio vettoriale
 della rette passanti per l'origine

DEF di sottospazio

Sia $S \subset V$ $S \neq \{\emptyset\}$

S è detto sottospazio di V se munito $+$, \cdot soddisfa le proprietà A1-A5 M1-M5

non è necessario verificare tutte le 10 condizioni per definire un sottospazio. È suff. considerare (e verificare) le proprietà di chiusura A1 e M1

Osservo

PROP, Un sottoinsieme non vuoto $S \subset V$ è un sottospazio di V \Leftrightarrow

$$A1 \quad \forall y \in S \Rightarrow x+y \in S$$

$$M1 \quad \forall \alpha \in \mathbb{K} \quad \forall x \in S \Rightarrow \alpha x \in S$$

dim Se $S \subset V$ eredita automaticamente tutte le proprietà di V tranne A1, A4, A5, e M1

Ma osserviamo che

$$A1 \wedge M1 \Rightarrow A4 \text{ e } A5$$

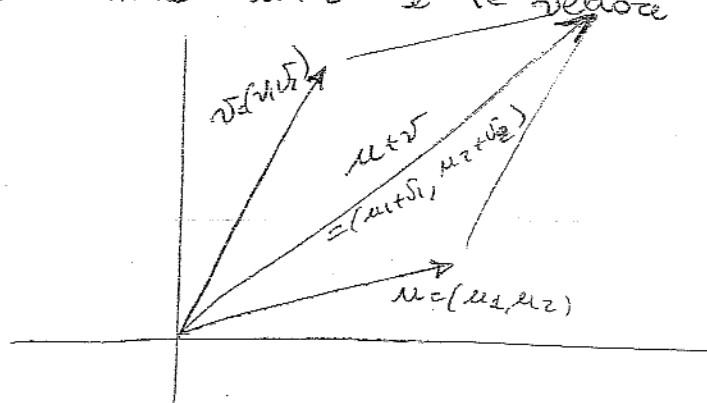
Infatti osserviamo che se $M1$ è vera $\Rightarrow (-x) = (-1)x \in S$

Quindi A5 è soddisfatta.

Poiché x e $(-x) \in S$ allora se A1 è vera,

$x + (-x) \in S$ ovvero $0 \in S$ quindi A4 è soddisfatta

In \mathbb{R}^2 e \mathbb{R}^3 è facile visualizzare l'addizione vettoriale utilizzando la regola del parallelogramma (dati 2 vett. u, v la loro somma $u+v$ è il vettore def. dalla diag. del paralle.

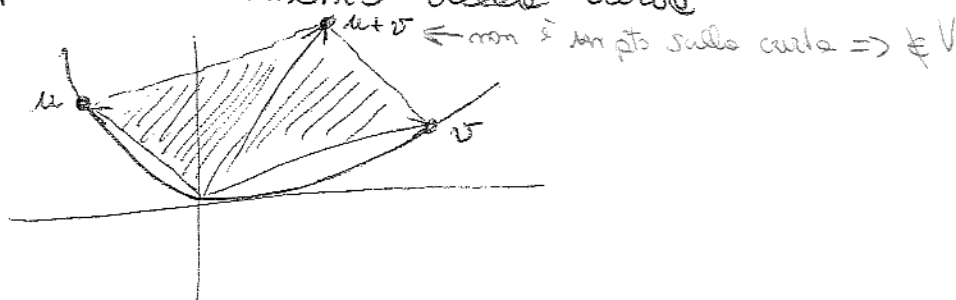


Abbiamo già osservato che le rette passanti per l'origine in \mathbb{R}^2 sono sottospazi.

- che cosa possiamo dire delle rette che non passano per l'origine? Queste non sono sottospazi perché un sottospazio deve contenere il vettore nullo (almeno l'origine del rif. cartesiano)

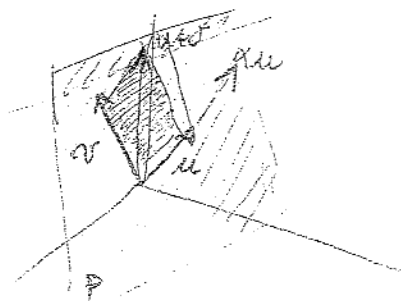
- Una linea curva passante per l'origine è un sottospazio? di \mathbb{R}^2 ?
Anche in questo caso la risposta è NO.

Sifatti possiamo vedere graficamente come la proprietà di chiusura A1 non può essere soddisfatta da linee perché esistono punti sulla curva per cui $u+v$ non è più un elemento della curva



- In \mathbb{R}^3 le rette passanti per l'origine ed i piani passanti per l'origine sono sottospazi di \mathbb{R}^3

Sifatti se P è un piano per l'origine la regola del parallelogramma garantisce la propr. di chiusura rispetto l'addiz. (prop. A1)



La prop. di chiusura M_1 è soddisfatta perché moltiplicando ogni vettore del piano per uno scalare semplicemente lo si accorcia o lo si allunga o se ne cambia il verso, ma l'angolo da esso definito con il riferimento non cambia!

- Linee e superfici in \mathbb{R}^3 che hanno una curvatura non sono sottospazi di \mathbb{R}^3

Il concetto di sottospazio può essere interpretato visivamente in \mathbb{R}^2 e \mathbb{R}^3 \rightarrow sottospazi sono superfici piatte (flat) passanti per l'origine

Sebbene non possiamo visualizzare la "flatness" (piattezza) in n dimensioni, la nostra mente la può concepire attraverso la nozione di sottospazio.

Pertanto ogni volta che parleremo di sottospazio immaginate una superficie piatta passante per l'origine

Sottospazi generati Span

Consideriamo un insieme di vettori

$$S = \{v_1, v_2, \dots, v_r\} \subset V$$

L'insieme di tutte le possibili combinazioni lineari dei v_i si denota con

$$\text{Span}(S) = \{ \alpha_1 v_1 + \dots + \alpha_r v_r \mid \alpha_i \in \mathbb{K} \}$$

e si chiama sottospazio generato da S .

Infatti: $\text{Span}(S)$ è un sottospazio perché soddisfa le due proprietà di chiusura A_1 e M_1

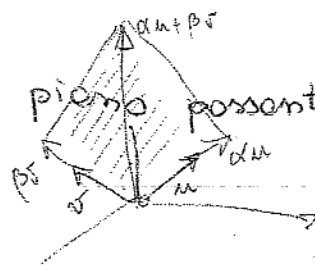
dim
Siano $x = \sum \xi_i v_i$ $y = \sum \eta_i v_i$ $x+y = \sum (\xi_i + \eta_i) v_i \in \text{span}(S)$
 $\beta x = \sum (\beta \xi_i) v_i \in \text{span}(S)$

L'intersezione di tutti i sottospazi contenenti un dato insieme S di vettori $\in \mathbb{K}^n$ è detto span ed è il più piccolo sottospazio di V contenente S

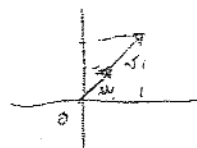
Esempi di span

- $u \in \mathbb{R}^3 \quad u \neq 0$ $\text{span}\{u\}$ è la retta passante per l'origine ed per ~~il punto~~ il punto u

- $u, v \in \mathbb{R}^3 \neq 0$ $\text{Span}\{u, v\}$ piano passante per l'origine e per i punti u, v



- $S = \left\{ \begin{pmatrix} 1 \\ 1 \end{pmatrix}, \begin{pmatrix} 2 \\ 2 \end{pmatrix} \right\}$ genera la retta $y=x$ di \mathbb{R}^2



- $S = \left\{ e_1 = \begin{pmatrix} 1 \\ 0 \\ 0 \end{pmatrix}, e_2 = \begin{pmatrix} 0 \\ 1 \\ 0 \end{pmatrix}, e_3 = \begin{pmatrix} 0 \\ 0 \\ 1 \end{pmatrix} \right\}$ o' $\text{span}(S) = \mathbb{R}^3$

- $e_i \in \mathbb{R}^n$ $e_i = \begin{pmatrix} 0 \\ \vdots \\ 1 \end{pmatrix} \rightarrow i\text{-sime}$ $\text{span}\{e_i\} = \mathbb{R}^n$

- L'insieme finito $\{1, x, x^2, \dots, x^n\}$ genera tutti i polinomi di grado $\leq n$

➔ aggiungere (17 bis)

DEF Matrice diagonale, triangolare sup ed inf, matrice che commuta con A data, matrice idempotente ($A^2 = A$), di tracce (A)

gli sottoinsiemi piccolamente definiti costituiscono dei sottospazi di $\mathbb{R}^{m \times n}$

$Ax = b$ m p.s. risolvere x b è dato colonne di A (se non partiamo da sottospazio non a noi $x \in \mathbb{R}^n$ da cui mi danno b per risultato) nel sottospazio (per v.e. delle colonne)

DEF Rango di $A \in \mathbb{R}^{m \times n}$

sia $A \in \mathbb{R}^{m \times n}$ l'insieme $\text{Rang}(A) = R(A) = \{Ax \mid x \in \mathbb{R}^n\}$ è detto range o immagine di A

$R(A) = \text{span}\{\text{colonne di } A\}$ (spazio colonna di A) o spazio generato dalle colonne di A

$R(A^T) = \text{span}\{\text{righe di } A\}$ (spazio riga di A) spazio generato dalle righe di A

17/10

Problema

Sia $S = \{a_1, a_2, \dots, a_m\}$ un insieme di vettori di \mathbb{R}^m ~~in~~ sotto-spazio $V \subset \mathbb{R}^m$
 $a_i \in \mathbb{R}^m$ vettori m -dimensionali

Sia $A \in \mathbb{R}^{m \times m}$ la matrice contenente i vettori ai quali vettori
 colonne

~~S genera V~~

l'insieme di vettori a_i genera il sotto-spazio $V \Leftrightarrow$

$\forall b \in V \exists x \in \mathbb{R}^m \text{ s.t. } Ax = b$ (il sistema $Ax = b$ è consistente
 $\forall b \in V$)

S genera $V \Leftrightarrow \forall b \in V \exists x_i \in \mathbb{R} \text{ s.t.}$

$$\alpha_1 a_1 + \alpha_2 a_2 + \dots + \alpha_m a_m = b \Leftrightarrow$$

$$(a_1 | a_2 | \dots | a_m) \begin{pmatrix} \alpha_1 \\ \alpha_2 \\ \vdots \\ \alpha_m \end{pmatrix} = b \Leftrightarrow A \begin{pmatrix} \alpha_1 \\ \alpha_2 \\ \vdots \\ \alpha_m \end{pmatrix} = b$$

$$\Leftrightarrow \text{posso } x = \begin{pmatrix} \alpha_1 \\ \vdots \\ \alpha_m \end{pmatrix} \quad Ax = b$$

Questa semplice osservazione è utile a verificare
 se un insieme di vettori genera un determinato
 sotto-spazio. ES $S = \{(1, 1, 1), (1, -1, -1), (3, 1, 1)\}$
 genera \mathbb{R}^3 si pongono tali vettori righe come colonne
 di 1 matrice A

$$A = \begin{pmatrix} 1 & 1 & 3 \\ 1 & -1 & 1 \\ 1 & -1 & 1 \end{pmatrix}$$

e ci si domanda se il sistema $Ax = b$ è consistente.

Oss $Ax = b$ è consistente $\Leftrightarrow \text{rank}[A|b] = \text{rank}(A)$

$\text{rank}(A) = 2$ (infatti A ha 2 righe uguali quindi $\det(A) = 0$)
 $\text{rank}(A|b) = \text{rank} \begin{bmatrix} 1 & 1 & 3 & b_1 \\ 1 & -1 & 1 & b_2 \\ 1 & 1 & 1 & b_3 \end{bmatrix} = 3$ per qualche b
 (per esempio $b = \begin{pmatrix} 0 \\ 0 \\ 1 \end{pmatrix}$)

Esempio

Consideriamo la matrice

$$A = \begin{pmatrix} 1 & 2 & 3 \\ 2 & 4 & 6 \end{pmatrix}$$

$A_{*1} \quad A_{*2} \quad A_{*3}$

$$R(A) = \text{span} \{ A_{*1}, A_{*2}, A_{*3} \} =$$

$$= \text{span} \left\{ \begin{pmatrix} 1 \\ 2 \end{pmatrix}, \begin{pmatrix} 2 \\ 4 \end{pmatrix}, \begin{pmatrix} 3 \\ 6 \end{pmatrix} \right\} = \left\{ \alpha \begin{pmatrix} 1 \\ 2 \end{pmatrix} + \beta \begin{pmatrix} 2 \\ 4 \end{pmatrix} + \gamma \begin{pmatrix} 3 \\ 6 \end{pmatrix} \mid \alpha, \beta, \gamma \in \mathbb{R} \right\}$$

$$= \left\{ \alpha \begin{pmatrix} 1 \\ 2 \end{pmatrix} + 2\beta \begin{pmatrix} 1 \\ 2 \end{pmatrix} + 3\gamma \begin{pmatrix} 1 \\ 2 \end{pmatrix} \mid \alpha, \beta, \gamma \in \mathbb{R} \right\} = \left\{ (\alpha + 2\beta + 3\gamma) \begin{pmatrix} 1 \\ 2 \end{pmatrix} \mid \eta \in \mathbb{R} \right\}$$

= retta di \mathbb{R}^2 passante per l'origine ed il punto $\begin{pmatrix} 1 \\ 2 \end{pmatrix}$

$$R(A^T) = \text{span} \{ A_{1*}, A_{2*} \} = \text{span} \left\{ \begin{pmatrix} 1 \\ 2 \\ 3 \end{pmatrix}, \begin{pmatrix} 2 \\ 4 \\ 6 \end{pmatrix} \right\}$$

$$= \left\{ \alpha \begin{pmatrix} 1 \\ 2 \\ 3 \end{pmatrix} + \beta \begin{pmatrix} 2 \\ 4 \\ 6 \end{pmatrix} \mid \alpha, \beta \in \mathbb{R} \right\} = \left\{ (\alpha + 2\beta) \begin{pmatrix} 1 \\ 2 \\ 3 \end{pmatrix} \mid \eta \in \mathbb{R} \right\}$$

= retta di \mathbb{R}^3 passante per l'origine ed il pto $\begin{pmatrix} 1 \\ 2 \\ 3 \end{pmatrix}$

Spazio nullo di A

DEF. Sia $A \in \mathbb{R}^{m \times n}$ e l'insieme

$$\text{Null}(A) = N(A) = \{ x \in \mathbb{R}^{n \times 1} \mid Ax = 0 \} \subseteq \mathbb{R}^n$$

si dice spazio nullo di A ed è un sottospazio di \mathbb{R}^n .

$N(A)$ è l'insieme delle soluzioni del sist. omogeneo $Ax = 0$

(lo spazio nullo corrisponde al kernel della applicazione lineare associata ad A)

$N(A)$ è il sottospazio generato dalle soluzioni di $Ax = 0$

DEF Vettori linearmente indipendenti

Consideriamo un insieme di vettori $S = \{v_1, v_2, \dots, v_n\} \in \mathbb{R}^n$.
 questi si dicono l.i. se e solo se $\sum_{i=1}^n \alpha_i v_i = 0 \Leftrightarrow \alpha_i = 0 \forall i$

PROP. Sia $A \in \mathbb{R}^{m \times n}$, le seguenti props. sono equivalenti

- le colonne di A (A_{*i}) costituiscono un insieme di vett. l.i.
- $N(A) = \{0\}$
- $\text{rank}(A) \stackrel{\text{def}}{=} \# \text{ delle colonne l.i. di } A = n$
- le righe di A (A_{i*}) costituiscono un insieme di vett. l.i.
- $N(A^T) = \{0\}$
- $\text{rank}(A^T) = \# \text{ righe l.i. di } A = m$

Se $A \in \mathbb{R}^{m \times n}$ allora A è non singolare $\Leftrightarrow A_{i*}$ righe formano un insieme di vett. l.i.
 $\Leftrightarrow A_{*i}$ le colonne formano un ins. di vett. l.i.

N.B. Sia $A \in \mathbb{R}^{m \times n}$ e consideriamo le matrici $\overset{\text{prodotto}}{\text{simmetriche}}$ $A^T A$ e $A A^T$

Queste matrici assumono una particolare importanza perché compaiono in diverse applicazioni.

Per esse sono valide le seguenti proprietà

$$\begin{aligned} \text{rank}(A^T A) &= \text{rank}(A) = \text{rank}(A A^T) \\ R(A^T A) &= R(A) \quad \text{potremmo dire } A \quad \text{e } R(A A^T) = R(A) \quad \text{potremmo dire } A^T \quad \text{(mat. simmetrica)} \\ N(A^T A) &= N(A) \quad \text{e } N(A A^T) = N(A^T) \quad \text{(mat. simmetrica)} \end{aligned}$$

un esempio ~~è~~ è legato alle matrici prodotto $A^T A$ e $A A^T$ e le loro appl. alla risoluzione di un sistema lineare

$$Ax = b \quad A \in \mathbb{R}^{m \times n}$$

questo sist. può o no essere consistente.
 moltiplicando a sinistra per A^T si produce un sist. $m \times m$

$$A^T A x = A^T b$$

chiamato sist. associato della eq. normali che possiede delle proprietà estremamente importanti.

- la sist. delle eq. normali è sempre consistente perché $A^T b \in R(A^T) = R(A^T A)$
- se $Ax=b$ è consistente allora $Ax=b$ e $A^T A x = A^T b$ hanno le stesse ~~le~~ insieme di soluzioni
- se $Ax=b$ è consistente ed ha una unica sol. lo stesso accade per $A^T A x = A^T b$ e risulta $x = (A^T A)^{-1} A^T b$

(*) aggiungere 20 bis

DEF BASE

Considerato uno spazio vettoriale V un insieme di vettori l.i. che generano tutto lo spazio è detto base di V

$$B = \{b_1, \dots, b_n\} \quad \text{si l.i. e} \quad \text{span}\{b_1, \dots, b_n\} = V \quad \stackrel{\text{def}}{\iff}$$

$$\iff \{b_i\} \text{ base di } V$$

caratterizzazione di una base

Sia $V \subseteq \mathbb{R}^m$ sottospazio e $B = \{b_1, b_2, \dots, b_n\} \subseteq V$
Le seguenti proprietà sono equivalenti

- $$\left\{ \begin{array}{l} - B \text{ è una base di } V \quad (V = \text{span}(B)) \\ - B \text{ è il più piccolo insieme minimale che genera } V \\ - B \text{ è il più grande insieme di vettori l.i. di } V \quad \text{(tutti i vettori l.i. di } V?) \\ \quad \text{maximale} \end{array} \right.$$

N.B. La dimensione di uno spazio vettoriale V è def.

$$\dim V = \# \text{ di vettori di una base di } V$$

$$= \# \quad " \quad " \quad " \quad \text{ogni sottospazio generatore di } V \quad (\text{minimale})$$

$$= \# \quad " \quad " \quad " \quad \text{sottinsieme massimale di vetti. l.i.}$$

DEF vettori l.i. $S = \{v_1, v_2, \dots, v_n\}$ è l.i. \Leftrightarrow

(20/15)

$$\sum \alpha_i v_i = 0 \Leftrightarrow \alpha_i = 0 \forall i$$

(l.i. settori di non continguous relazioni di dipendenza)

l.d. se un settore si può riscrivere come comb. lin. degli altri vettori

Matrici e linear independence

- $A \in \mathbb{R}^{m \times n}$

$$A = [a_1 | a_2 | \dots | a_n]$$

le seguenti prop. sono equivalenti:

- le colonne di A sono l.i.
- $N(A) = \{0\}$
- $\text{rank}(A) = n$

- le righe di A sono l.i.
- $N(A^T) = \{0\}$
- $\text{rank}(A) = m$

se $A \in \mathbb{R}^{m \times m}$ le seguenti prop. sono equiv.

- A è non singolare
- le colonne di A formano un insieme di vett. l.i.
- le righe di A " " " " " "

Esempi

Matrice di Vandermonde

DEF

$$V_{m \times m} = \begin{pmatrix} 1 & x_1 & x_1^2 & x_1^3 & \dots & x_1^{m-1} \\ 1 & x_2 & x_2^2 & x_2^3 & \dots & x_2^{m-1} \\ \vdots & \vdots & \vdots & \vdots & \ddots & \vdots \\ 1 & x_m & x_m^2 & x_m^3 & \dots & x_m^{m-1} \end{pmatrix} \in \mathbb{R}^{m \times m}$$

è detta matrice di Vandermonde se

$$\rightarrow x_i \neq x_j \quad \forall i \neq j$$

Se $m \leq m$ le colonne di V costituiscono un insieme di vec. l.i.

dim le colonne di V sono l.i. $\Leftrightarrow N(V) = \{0\}$

Consideriamo $N(V) = \{\alpha \in \mathbb{R}^m \mid V\alpha = 0\}$

$$\alpha = \begin{pmatrix} \alpha_0 \\ \alpha_1 \\ \vdots \\ \alpha_{m-1} \end{pmatrix}$$

$$\begin{pmatrix} 1 & x_1 & x_1^2 & \dots & x_1^{m-1} \\ 1 & x_2 & x_2^2 & \dots & x_2^{m-1} \\ \vdots & \vdots & \vdots & \ddots & \vdots \\ 1 & x_m & x_m^2 & \dots & x_m^{m-1} \end{pmatrix} \begin{pmatrix} \alpha_0 \\ \alpha_1 \\ \alpha_2 \\ \vdots \\ \alpha_{m-1} \end{pmatrix} = \begin{pmatrix} 0 \\ 0 \\ \vdots \\ 0 \end{pmatrix}$$

$$\forall i = 1, \dots, m$$

$$\alpha_0 + \alpha_1 x_i + \alpha_2 x_i^2 + \dots + \alpha_{m-1} x_i^{m-1} = 0$$

$$\Rightarrow p(x) = \alpha_0 + \alpha_1 x + \dots + \alpha_{m-1} x^{m-1}$$

è polinomio $p(x)$ di grado $\leq m-1$ e $p(x)$ ha m radici distinte x_i

$m-1 < m \leq m \Rightarrow$ del teor. fondamentale dell'algebra

$p(x)$ è necessariamente il polinomio nullo $\Rightarrow \alpha_i = 0$

Problema

20 pts

Assegnato un insieme di m punti distinti di \mathbb{R}^2
 $S = \{(x_1, y_1) \dots (x_m, y_m)\} \quad x_i \neq x_j \quad \forall i \neq j$

Il polinomio

$l(t) = \alpha_0 + \alpha_1 t + \alpha_2 t^2 + \dots + \alpha_{m-1} t^{m-1}$ di grado $m-1$
passante per i punti (x_i, y_i) (interpolante tale insieme di punti)

Per det. il polinomio $l(t)$ dobbiamo calcolarne i suoi coefficienti α_i . Ovvero dobbiamo risolvere i.e. sistemi

$$l(x_i) = y_i \quad \forall i = 1 \dots m$$

$$\Leftrightarrow \begin{cases} l(x_1) \\ \vdots \\ l(x_m) \end{cases} \Rightarrow \begin{cases} \alpha_0 + \alpha_1 x_1 + \alpha_2 x_1^2 + \dots + \alpha_{m-1} x_1^{m-1} = y_1 \\ \vdots \\ \alpha_0 + \alpha_1 x_m + \alpha_2 x_m^2 + \dots + \alpha_{m-1} x_m^{m-1} = y_m \end{cases}$$

$$l(x_m) = \alpha_0 + \alpha_1 x_m + \alpha_2 x_m^2 + \dots + \alpha_{m-1} x_m^{m-1} = y_m$$

$$\Leftrightarrow \underbrace{\begin{pmatrix} 1 & x_1 & x_1^2 & \dots & x_1^{m-1} \\ 1 & x_2 & x_2^2 & \dots & x_2^{m-1} \\ \vdots & \vdots & \vdots & \ddots & \vdots \\ 1 & x_m & x_m^2 & \dots & x_m^{m-1} \end{pmatrix}}_{m \times m} \begin{pmatrix} \alpha_0 \\ \alpha_1 \\ \vdots \\ \alpha_{m-1} \end{pmatrix} = \begin{pmatrix} y_1 \\ y_2 \\ \vdots \\ y_m \end{pmatrix}$$

matrice di Vandermonde che abbiamo visto essere non singolare

\Leftrightarrow Il sol. del precedente sist. lineare

Si prova

$$l(t) = \sum_{i=1}^m y_i \left(\frac{\prod_{j \neq i}^m (t - x_j)}{\prod_{j \neq i} (x_i - x_j)} \right)$$

polinomio interpolante di Lagrange di grado $m-1$

RELAZIONE TRA SOTTOSPAZI - DIMENSIONI - BASI

21

Se $A \in \mathbb{R}^{m \times n}$ e $\text{rank}(A) = r$

Allora si prova che

- $\dim(R(A)) = r$
- $\dim(N(A)) = n - r$
- $\dim(R(A^T)) = r$
- $\dim(N(A^T)) = m - r$

TEOR $A \in \mathbb{R}^{m \times n}$

$$\dim(R(A)) + \dim(N(A)) = n$$

OSS

(da riprendere legame tra grafo e rank della matrice di incidenza associata ad un grafo connesso (diretta metodi di classificazione?))

(vedi esempio di grafo 21 bis e 21 ter)

Ulteriori props. di $A^T A$ e $A A^T$

$A \in \mathbb{R}^{m \times n}$ le seguenti proprietà sono vere

- $\text{rank}(A^T A) = \text{rank}(A) = \text{rank}(A A^T)$
- $R(A^T A) = R(A^T) \quad \wedge \quad R(A A^T) = R(A)$
- $N(A^T A) = N(A) \quad \wedge \quad N(A A^T) = N(A^T)$

- Relazione tra route e connettività

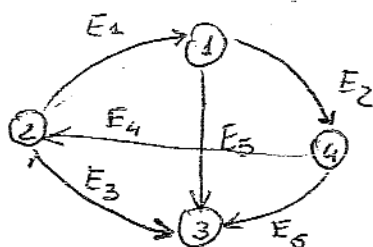
Si dice grafo

un insieme di punti (o nodi) $\{N_1, N_2, \dots, N_m\}$ con un insieme di path (edge percorsi) $\{E_1, E_2, \dots, E_n\}$ tra i nodi

DEF Un grafo connesso è un grafo in cui esiste una sequenza di percorsi che connette ogni coppia di nodi

Un grafo diretto è un grafo in cui per ciascun percorso è assegnata una direzione di percorrenza.

Esempio di grafo connesso e diretto



La connettività di un grafo è indipendente dalla direzione assegnata ad ogni percorso.

Il concetto di connettività di un grafo e di route di una matrice sono intimamente legati:

DEF Matrice di incidenza associata ad un grafo diretto contenente m nodi ed n percorsi è la matrice $E \in \mathbb{R}^{m \times n}$ i cui elementi sono

$$e_{kj} = \begin{cases} 1 & \text{se il percorso } E_j \text{ è diretto verso il nodo } N_k \text{ (entra)} \\ -1 & \text{" " " " esce del nodo } N_k \\ 0 & \text{se " " non inizia né finisce nel nodo } N_k \end{cases}$$

La matrice di incidenza associata al grafo in figura è

$$E = \begin{matrix} & \begin{matrix} E_1 & E_2 & E_3 & E_4 & E_5 & E_6 \end{matrix} \\ \begin{matrix} N_1 \\ N_2 \\ N_3 \\ N_4 \end{matrix} & \begin{pmatrix} 1 & -1 & 0 & 0 & -1 & 0 \\ -1 & 0 & -1 & 1 & 0 & 0 \\ 0 & 0 & 1 & 0 & 1 & 1 \\ 0 & 1 & 0 & -1 & 0 & -1 \end{pmatrix} \end{matrix}$$

Ciascuna ~~linea~~ ^{linea} di commensione in un grafo ~~com~~ diretto
connette 2 nodi: la testa e la coda della commensione
pertanto la matrice E sarà \Rightarrow ciascuna sua
colonna avrà 2 elementi diversi da 0 (-1 e $+1$)

\Rightarrow Somme delle colonne = 0

$$e^T = (1, 1, \dots, 1) \in \mathbb{R}^m \Rightarrow e^T \overset{\text{somma colonne}}{E} = 0 \Rightarrow e \in N(E^T)$$

$$\text{e } \text{rank}(E) = \text{rank}(E^T) = m - \dim(E^T) \leq m-1$$

Il segno di disuguaglianza vale \forall tipo di connettività
associata al grafo

Il segno di uguaglianza si ha se il grafo è connesso

Si prova che

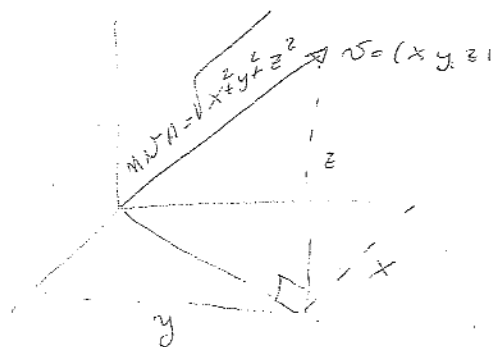
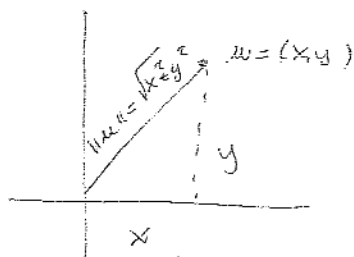
Theor. Sia G un grafo contenente m nodi.

Assegnate in modo arbitrario le direzioni alle sue linee
di commensione in modo da rendere il grafo G connesso
e detta E la matrice di incidenza associata a G
si ha che

$$G \text{ è connesso} \Leftrightarrow \text{rank}(E) = m-1$$

L'algebra lineare (sua formalizzazione) cerca di generalizzare i concetti della geometria di base degli spazi \mathbb{R}^2 ed \mathbb{R}^3 agli spazi non-visuali di grandi dimensioni.

Per esempio la lunghezza di un vettore $u \in \mathbb{R}^2$ o $v \in \mathbb{R}^3$ si ottiene facilmente applicando il teorema di Pitagora e calcolando la lunghezza dell'ipotenusa di un triangolo come mostrato nella seguente figura.



Le misure

$$\|u\| = \sqrt{x^2 + y^2} \quad \text{e} \quad \|v\| = \sqrt{x^2 + y^2 + z^2}$$

Sono chiamate norme euclidee dei vettori $u \in \mathbb{R}^2$ e $v \in \mathbb{R}^3$ e ammettono una ovvia estensione in \mathbb{R}^n .

NORMA EUCLIDEA

Considerato lo spazio vettoriale \mathbb{R}^n $\forall x \in \mathbb{R}^n$

$$\|x\|_2 = \sqrt{\sum_{i=1}^n x_i^2} = \sqrt{x^T x}$$

Nel caso complesso

$$\|x\|_2 = \sqrt{x^H x}$$

(Consigliamo per noi i vettori saranno vettori colonna qualora non diversamente specificato)

- OSSERVAZIONI IMPORTANTI

La versione complessa di $\|\cdot\|_2$ include quella reale come caso speciale.
N.B. $\|x\|_2$ è sempre reale anche se $x \in \mathbb{C}^n$

- La def. della $\|\cdot\|_2$ garantisce che

$$\|x\| \geq 0, \quad \|x\| = 0 \Leftrightarrow x = 0 \quad \| \alpha x \| = |\alpha| \|x\| \quad \forall \alpha \in \mathbb{C}$$

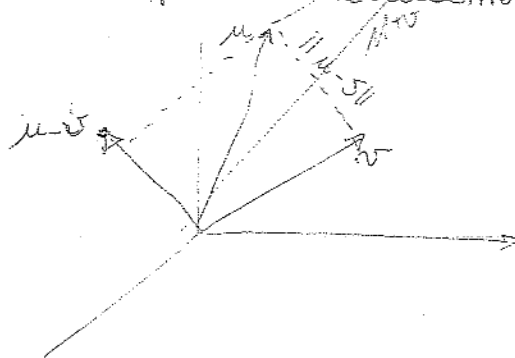
- Dato un vettore $x \neq 0$ può essere convenientemente ottenere da x un altro vettore di punto nella stessa direzione di x (cioè è un multiplo positivo di x) ma che abbia lunghezza unitaria. Per costruire questo vettore si normalizza il vettore x come segue

$$u = \frac{x}{\|x\|} \Rightarrow \|u\| = \left\| \frac{x}{\|x\|} \right\| = \frac{1}{\|x\|} \|x\| = 1$$

il vettore normalizzato

- La distanza tra vettori in \mathbb{R}^3 può essere visualizzata utilizzando la regola del parallelogramma, quindi in $\mathbb{R}^3 (\mathbb{C}^3)$ la distanza tra $u, v \in \mathbb{R}^3$ si definisce naturalmente come

$$\|u - v\|$$



(23)

Prodotto scalare

$$x, y \in \mathbb{R}^n (\mathbb{C}^n)$$

lo scalare $x \cdot y = \sum_{i=1}^n x_i y_i \in \mathbb{R}$ ($\text{Re } x \cdot y = \sum x_i y_i$)
è detto prodotto scalare interno su $\mathbb{R}^n (\mathbb{C}^n)$

DISUGUAGLIANZA DI CAUCHY-SCHWARZ

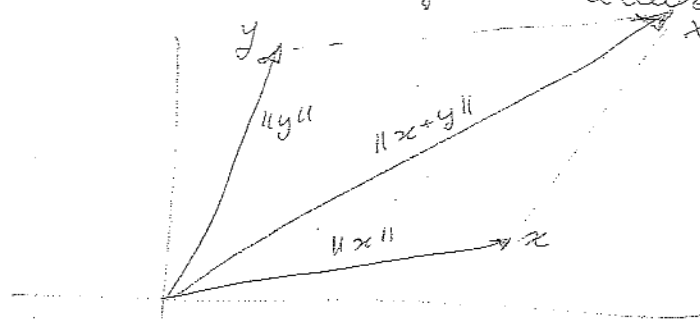
$$|x \cdot y| \leq \|x\| \|y\| \quad x, y \in \mathbb{C}^n$$

l'uguaglianza vale se e solo se $y = \alpha x$

$$\alpha = \frac{x \cdot y}{x \cdot x}$$

l'importanza della disuguaglianza di CS è quella di aiutarci a definire una geometria negli spazi multidimensionali: che sia consistente con gli spazi usuali \mathbb{R}^2 e \mathbb{R}^3

Consideriamo la seguente situazione



Supponiamo di muoverci dall'origine al punto x e poi di spostarci al punto $x+y$. Naturalmente abbiamo percorso una distanza che è almeno tanto grande quanto la distanza dall'origine a $x+y$ lungo la diagonale del parallelogramma.

È graficamente evidente $\|x+y\| \leq \|x\| + \|y\|$

Questa osservazione è nota come disuguaglianza triangolare. Negli spazi multidim. non possiamo visualizzare la geometria ma la disug. di CS ci permette di dimostrarla.

DISUG. TRIANG.

$$x, y \in \mathbb{R}^n \quad \|x+y\| \leq \|x\| + \|y\|$$

Oltre al length euclideo ci sono altre nozioni di misura su vettori (es. navigatore di segue una galleria e non la distanza in volo \rightarrow norme della galleria \bar{e} la ~~galleria~~ conosciuta come norma 1)

Norme p

Sia $p \geq 1$ ^{su \mathbb{C}^n} p -norm \bar{e} definita come

$$\|x\|_p = \left(\sum_{i=1}^n |x_i|^p \right)^{1/p}$$

e come la norma euclidea verifica le seguenti prop.

$$\|x\|_p \geq 0$$

$$\|x\|_p = 0 \iff x = 0$$

$$\|\alpha x\|_p = |\alpha| \|x\|_p \quad \forall \alpha \in \mathbb{R}$$

$$\|x+y\|_p \leq \|x\|_p + \|y\|_p$$

disuguaglianza di Hölder $|x^H y| \leq \|x\|_p \|y\|_p$
generalizzazione delle CS

In pratica solo 3 p -norme sono le più usate

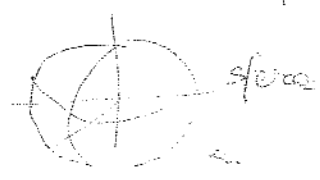
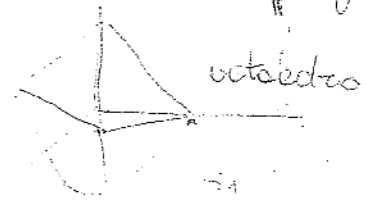
$$\|x\|_1 = \sum_{i=1}^n |x_i| \quad (\text{guid norm})$$

$$\|x\|_2 = \left(\sum_{i=1}^n |x_i|^2 \right)^{1/2} \quad (\text{norma euclidea})$$

$$\|x\|_\infty = \max_i |x_i| \quad (\text{max norm o norma infinito})$$

$\lim_{p \rightarrow \infty} \|x\|_p$

Per avere una idea del significato geometrico delle 3 norme (tutte le p -norme sono definite in termini di coordinate con un riferimento quindi il loro uso \bar{e} limitato agli spaz. coordinati) comunque il concetto di norma \bar{e} generalizzato a uno spazio vettoriale V , cioè \bar{e} un concetto coordinate-free) possiamo analizzare la forma e le dimensioni relative della p -sfera unitaria $S_p = \{x \mid \|x\|_p = 1\}$



$$S_1 \subset S_2 \subset S_\infty \Rightarrow \|x\|_1 \geq \|x\|_2 \geq \|x\|_\infty \quad \forall x \in \mathbb{R}^3$$

(25)

NORMA SU MATRICI

Poiché $\mathbb{C}^{m \times n}$ è uno spazio vettoriale di dim. mn la generalità di una matrice può essere misurata utilizzando ogni norma vettoriale su \mathbb{C}^{mn} (per esempio trasfor-
mando la matrice in un vettore colonna) ed applicando la norma euclidea
→ otteniamo la norma di Frobenius

$$A = \begin{pmatrix} 2 & 1 \\ -4 & -2 \end{pmatrix} \rightarrow x_A = \begin{pmatrix} 2 \\ -4 \\ 1 \\ -2 \end{pmatrix}$$

$$\|x_A\|_2 = \sqrt{2^2 + (-4)^2 + 1^2 + (-2)^2} = 5$$

Questa è la nozione più semplice di norme matriciali ed è chiamata norma di Frobenius.

NORMA DI FROBENIUS

$$\|A\|_F^2 = \sum_{i,j} |a_{ij}|^2 = \sum_i \|A_{i*}\|_2^2 = \sum_j \|A_{*j}\|_2^2 = \text{trace}(A^H A)$$

DEF generale di norme matriciali su $\mathbb{C}^{m \times n}$

Norma 1 $\|A\|_1 = \max_{\|x\|_1=1} \|Ax\|_1 = \max_j \sum_i |a_{ij}|$
 = il + grande valore delle somme dei valori assoluti sulle colonne

$\|A\|_\infty = \max_i \sum_j |a_{ij}| \rightarrow \max$ somma dei val abs sulle righe

Def. Riprendere la def. di prodotto scalare

(26)

V spazio vettoriale reale

$$\langle \cdot, \cdot \rangle : V \times V \rightarrow \mathbb{R} \ (\mathbb{C})$$

$$\forall x \quad \langle x, x \rangle \geq 0 \quad \langle x, x \rangle = 0 \iff x = 0$$

$$\langle \alpha x, y \rangle = \alpha \langle x, y \rangle \quad \forall \alpha$$

$$\langle x+y, z \rangle = \langle x, z \rangle + \langle y, z \rangle$$

$$\langle x, y \rangle = \overline{\langle y, x \rangle} \quad (\text{in } \mathbb{C} \quad \langle x, y \rangle = \overline{\langle y, x \rangle})$$

~~DEF 2.13~~ \mathbb{R}^n ~~adde~~ ~~def~~ ~~def~~

Abbiamo ricordato il prodotto scalare su \mathbb{R}^n

$$\langle x, y \rangle = x^T y = \sum_{i=1}^n x_i y_i$$

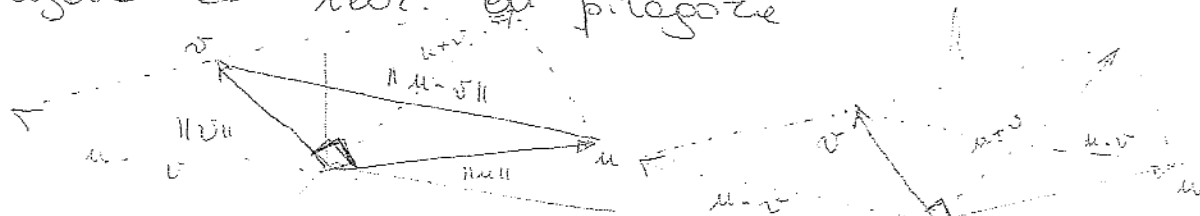
possiamo osservare come questo prodotto scalare definisca su \mathbb{R}^n una norma, detta norma euclidea.

$$\|x\| = \sqrt{\langle x, x \rangle} = \langle x, x \rangle^{1/2} = (x^T x)^{1/2} = \|x\|_2$$

(la norma euclidea è l'indotta del prodotto scalare su \mathbb{R}^n)

Ma in \mathbb{R}^3 due vettori sono ortogonali se l'angolo che essi formano è di 90° . La visualizzazione del concetto di angolo non è possibile in più dimensioni.

Comunque l'essenza del concetto di perpendicolarità è legata al teor. di Pitagora.

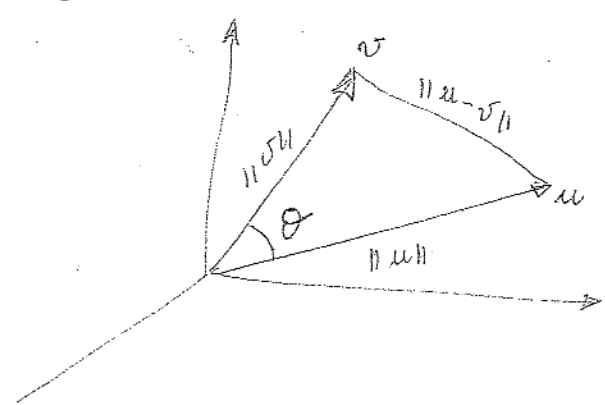


$$u \text{ e } v \text{ sono } \perp \iff \|u\|^2 + \|v\|^2 = \|u \pm v\|^2$$

$$\begin{aligned}
 0 &= u^T u + v^T v - (u-v)^T (u-v) = \\
 &= u^T u + v^T v - (u^T u - u^T v - v^T u + v^T v) \\
 &= u^T u + v^T v - u^T u + u^T v + v^T u - v^T v \\
 &= 2 u^T v \quad (u, v \in \mathbb{R}^3)
 \end{aligned}$$

\Rightarrow due vettori sono ortogonali se e solo se il loro prodotto scalare è nullo $u^T v = 0$

Una volta che ha senso il concetto di angolo retto in spazi di \mathbb{R}^n generalizziamo il concetto di angolo



La legge del coseno in \mathbb{R}^2 o \mathbb{R}^3 dice
 $\|u-v\|^2 = \|u\|^2 + \|v\|^2 - 2\|u\|\|v\|\cos\theta$

$$\Rightarrow \cos\theta = \frac{-\|u-v\|^2 + \|u\|^2 + \|v\|^2}{2\|u\|\|v\|}$$

$$\begin{aligned}
 \cos\theta &= \frac{\|u\|^2 + \|v\|^2 - \|u-v\|^2}{2\|u\|\|v\|} \\
 &= \frac{u^T u + v^T v - (u-v)^T (u-v)}{2\|u\|\|v\|}
 \end{aligned}$$

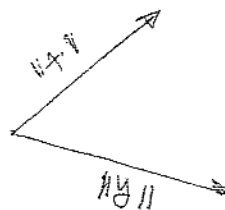
$$\begin{aligned}
 &= \frac{2 u^T v}{2\|u\|\|v\|} = \frac{u^T v}{\|u\|\|v\|}
 \end{aligned}$$

EF Negli spazi vettoriali su \mathbb{R} la misura in radianti dell'angolo compreso tra 2 vettori non nulli x, y è definito come il numero $\theta \in [0, \pi]$ tale che $\cos\theta = \frac{x^T y}{\|x\|\|y\|}$

in spazi reali $x, y \in \mathbb{R}^n$

$$\cos \theta = \frac{\langle x, y \rangle}{\|x\| \|y\|} = \frac{x^T y}{\|x\| \|y\|}$$

(similitudine del coseno)



(28)

Linear correlation

Supponiamo di aver condotto un esperimento e che le osservazioni siano state salvate in due settori

$$x = \begin{pmatrix} x_1 \\ \vdots \\ x_n \end{pmatrix} \quad y = \begin{pmatrix} y_1 \\ \vdots \\ y_n \end{pmatrix}$$

o

$$e = \begin{pmatrix} 1 \\ \vdots \\ 1 \end{pmatrix}$$

Problema: determiniamo con quale grado le componenti y_i sono linearmente correlate con x_i .
Cioè misureremo quanto y è vicino ad una combinazione lineare $\beta_0 e + \beta_1 x$ elemento base canonico

Soluzione: Il coseno formato dai vettori x e y ci fornisce il grado di correlazione lineare tra questi settori.
Per capire le motivazioni indichiamo con

$$\mu_x = \frac{\sum_i x_i}{n} = \frac{e^T x}{n} \quad \text{media} \quad \text{misura di tendenza principale dei dati}$$

$$\sigma_x = \sqrt{\frac{\sum_{i=1}^n (x_i - \mu_x)^2}{n}} = \frac{\|x - \mu_x e\|_2}{\sqrt{n}} \quad \text{deviazione standard}$$

misura il grado in cui i dati sono (distinti) sparpagliati

Frequentemente

Poiché i dati possono derivare da sorgenti diverse e quindi ~~non~~ ~~presentare~~ presentare diverse unità di misura. Generalmente si procede alla standardizzazione in quantità unitarie $\left(\frac{x - \mu}{\sigma}\right)$

DEF La standardizzazione di un settore x di $\sigma_x \neq 0$ è definita

$$z_x = \frac{x - \mu_x e}{\sigma_x} \quad \text{vettore con componenti normalizzate}$$

Le componenti del settore z_x si chiamano

o punteggi standard

Z-scores

Tutti i settori standardizzati sono di $\|z\| = \sqrt{n}$ $\mu_z = 0$ $\sigma_z =$

Si può facilmente verificare che

Se $x, y \in \mathbb{R}^n$ $\sigma_x \neq 0$ $\sigma_y \neq 0$ (deviazione standard non nulla) (2)

$$z_x = z_y \Leftrightarrow \exists \beta_0, \beta_1 \ni y = \beta_0 e + \beta_1 x \quad \beta_1 > 0$$

$$z_x = -z_y \Leftrightarrow \exists \beta_0, \beta_1 \ni y = \beta_0 e + \beta_1 x \quad \beta_1 < 0$$

In altre parole $y = \beta_0 e + \beta_1 x$ per qualche $\beta_0, \beta_1 \Leftrightarrow z_x = \pm z_y$ in tal caso siamo che y è perfettamente correlato in modo lineare con x

Poiché z_x dipende da x , z_x è tanto più vicino a $\pm z_y$ quanto più x è linearmente correlato a y .

Poiché $\|z_x\| = \|\pm z_y\| = \sqrt{m} \Rightarrow z_x$ e $\pm z_y$ differiscono solo nell'orientazione. quindi $\cos \theta$ è una misura naturale di quanto z_x sia vicino a $\pm z_y$

$$\rho_{xy} = \cos \theta = \frac{z_x^T z_y}{\|z_x\| \|z_y\|} = \frac{z_x^T z_y}{m} = \frac{(x - \mu_x e)^T (y - \mu_y e)}{\|x - \mu_x e\| \|y - \mu_y e\|}$$

è detto coefficiente di correlazione lineare

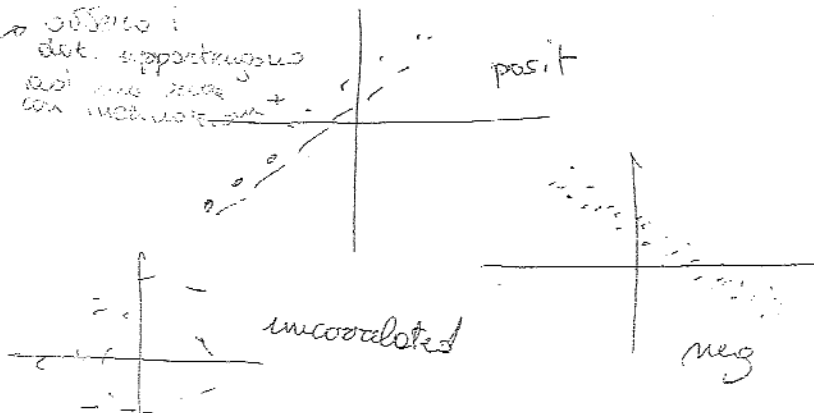
$\rho_{xy} = 0 \quad x \perp y \Rightarrow x, y$ sono completamente scorrelati

$|\rho_{xy}| = 1 \Leftrightarrow y$ è perfettamente correlato ad x
 y posit. correlato con $x \quad \beta_1 > 0$
 y negat. correlato con $x \quad \beta_1 < 0$

$|\rho_{xy}|$ misura il grado in cui y è linearmente legato a x

$\rho_{xy} \approx 1$ posit. corr.
 $\rho_{xy} \approx -1$ neg. corr.

i dati mostrano
una forte correlazione
con un coefficiente di
correlazione
negativo



Se $\rho_{xy} = 0$, i dati non mostrano alcuna correlazione lineare.

Risolvere il prodotto scalare

(30)

Risolvere le norme settoriali

Procedura di Gram-Schmidt

di una base $B = \{x_1, \dots, x_n\}$
[Assegnati n vettori x_1, x_2, \dots, x_n costruire una base
ortonormale u_1, u_2, \dots, u_n

$$K=1 \quad u_1 = \frac{x_1}{\|x_1\|}$$

$$\star \quad t_k = x_k - \sum_{i=1}^{k-1} (u_i^H x_k) u_i =$$
$$u_k = \frac{t_k}{\|t_k\|}$$

\Rightarrow Fattorizzazione QR

Ogni matrice $A \in \mathbb{R}^{m \times n}$ (con colonne linearmente indep.)
può essere univocamente fattorizzata nel prod.

$$A = QR$$

Q ortonormale

R triangolare superiore con elementi diagonali positivi

Quando consideriamo una matrice $A \in \mathbb{R}^{m \times n}$ $\{A_{x1}, A_{x2}, \dots, A_{xn}\}$
matrice con colonne l.i. allora le
il processo di Gram-Schmidt
applicato alle colonne di A
costituisce una base $\{q_1, q_2, \dots, q_n\}$ per $R(A)$

ovv

$$q_1 = \frac{a_1}{\|a_1\|} \quad v_1 = \|a_1\|$$

$$q_k = \frac{a_k - \sum_{i=1}^{k-1} (q_i^H a_k) q_i}{\| \cdot \|}$$

$$v_k = \| a_k - \sum_{i=1}^{k-1} (q_i^H a_k) q_i \|$$
$$= \| a_k - \sum_{i=1}^{k-1} r_{ki} q_i \|$$

la relazione precedente può essere ~~scritta~~ come
espresa formalmente come

$$(q_1 | q_2 | \dots | q_n) = (q_1 | q_2 | \dots | q_n) \begin{pmatrix} v_1 & (q_1 | q_2) & (q_1 | q_3) & \dots & (q_1 | q_n) \\ 0 & v_2 & (q_2 | q_3) & \dots & (q_2 | q_n) \\ \vdots & \vdots & \vdots & \ddots & \vdots \\ 0 & 0 & 0 & \dots & v_n \end{pmatrix}$$

$\langle q_1, q_2 \rangle$
 $\langle q_2, q_3 \rangle$
 $\langle q_2, q_n \rangle$
 $\langle q_3, q_n \rangle$
 $\langle q_n, q_n \rangle$

Questo ci dice che è possibile fattorizzare una matrice $A = QR$ $m \times n$ $m \times n$ $m \times n$ ove le colonne di Q formano una base ortonormale di $R(A)$ ed R è una matrice triangolare sup con elementi diagonali positivi.

→ passare agli autovalori ed autovettori

Autovalori ed Autovettori (aggiunta)

32

data definizione $Ax = \lambda x$ $\lambda \in \mathbb{C}$, $x \neq 0$ $A \in \mathbb{C}^{n \times n}$

$$Ax = \lambda x \Leftrightarrow (A - \lambda I)x = 0 \Leftrightarrow x \neq 0 \quad x \in N(A - \lambda I)$$

$N(A - \lambda I)$ questo insieme di vettori non è vuoto, è dato da $x=0$ contiene vettori diversi da 0 solo se

$A - \lambda I$ è singolare $\Leftrightarrow \lambda$ sono i valori di λ rendono singolare $A - \lambda I \Leftrightarrow \det(A - \lambda I) = 0$

$$A \in \mathbb{C}^{n \times n} \quad \lambda \in \mathbb{C} \quad x \in \mathbb{C}^n \quad \exists' \quad Ax = \lambda x \quad (x \text{ parallelo a } x)$$

λ detto autovalore di A

x " autovettore " "

(λ, x) eigenpair di A

λ Angolare, $\lambda=0$ è un autovettore
Notes: $\sum_{i=1}^n \lambda_i = \text{tr}(A)$

$\sigma(A)$ insieme degli autovalori distinti di $A \Leftrightarrow$ spettro di A

• $\lambda \in \sigma(A) \Leftrightarrow A - \lambda I$ è singolare $\Leftrightarrow \det(A - \lambda I) = 0$

• $\{x \neq 0 \mid x \in N(A - \lambda I)\}$ insieme degli autovettori associati a λ
 $N(A - \lambda I)$ detto eigenspace di A (autospazio di A)

• y^H $\exists' \quad y^H (A - \lambda I) = 0$ autovalore sinistro di A

\Rightarrow Geometricamente $Ax = \lambda x$ attraverso la trasformazione lineare associata di A gli autovettori sono quei particolari vettori che vengono modificati in grandezza e segno ma l'orientazione di Ax è la stessa di x

λ fornisce semplicemente la quantità da cui x viene allungato o accorciato dalla trasformazione A .

eq. caratteristica

$$p(\lambda) = \det(A - \lambda I) \quad \text{polinomio caratteristico di } A$$

$$p(\lambda) = 0 \quad \text{eq. caratteristica di } A$$

il grado di $p(\lambda)$ è n ed il coefficiente del termine di grado max è $(-1)^n \lambda^n$

- Gli autovalori di A sono le soluzioni del polinomio caratteristico equis. le radici di $p(\lambda) = 0$
- A ha n autovalori, alcuni dei quali possono essere complessi (anche se la matrice $A \in \mathbb{R}^{n \times n}$) ed alcuni autovalori si possono ripetere

$$A = \begin{pmatrix} 1 & -1 \\ 1 & 1 \end{pmatrix} \quad \lambda_{1/2} = 1 \pm i$$

$$N(A - \lambda I) \text{ per } \lambda = 1+i \quad \equiv \text{span} \left\{ \begin{pmatrix} i \\ 1 \end{pmatrix} \right\}$$

$$N(A - \lambda I) \text{ per } \lambda = 1-i \quad \equiv \text{span} \left\{ \begin{pmatrix} -i \\ 1 \end{pmatrix} \right\}$$

- Se $A \in \mathbb{R}^{n \times n}$ e $\lambda \in \sigma(A)$ allora $\bar{\lambda} \in \sigma(A)$

Gli autovalori di una matrice triangolare sono gli elementi diagonali

~~$p(\lambda) = \lambda^n$~~

$$\text{traccia}(A) = \sum_{\lambda_i \in \sigma(A)} \lambda_i$$

$$\det(A) = \prod_{\lambda_i \in \sigma(A)} \lambda_i$$

$\rho(A) = \max_{\lambda \in \sigma(A)} |\lambda|$ raggio spettrale

$\rho(A) \leq \|A\|$ (maggiorazione di $\rho(A)$ economica da calcolare specialmente in $\|\cdot\|_1$ o $\|\cdot\|_\infty$)

Cerchi di Gershgorin

$$\sigma(A) \subset \bigcup G_i \quad G_i = \left\{ z \in \mathbb{C} \mid |z - a_{ii}| \leq r_i \right\} \quad r_i = \sum_{j=1, j \neq i}^n |a_{ij}| \quad i=1, \dots, n$$

in altre parole gli autovalori di una matrice sono contenuti in un insieme di cerchi ~~con~~ ~~centro~~ centrati in a_{ii} e raggio dato dalla somma dei valori assoluti di A in i -esima riga.

SIMILARITA'

$A, B \in \mathbb{R}^{n \times n}$ sono simili $\Leftrightarrow \exists P$ non singolare s' $P^{-1}AP = B$
 $P^{-1}AP$ è detta trasformazione di similarità di A

un problema fondamentale nell'alg. lin. è quello di ridurre una matrice A assegnata ad una forma più semplice per mezzo di trasformazioni di similarità

Le matrici diagonali hanno la forma più semplice pertanto è interessante chiedersi se e quando una matrice è simile ad una matrice diagonale

DEF. A si dice diagonalizzabile $\Leftrightarrow A$ è simile ad una matrice diagonale

PROP

A è diagonalizzabile $\Leftrightarrow A$ possiede n autovettori l.i.
 Inoltre $\Leftrightarrow P^{-1}AP = \text{diag}(\lambda_1, \dots, \lambda_n) \Leftrightarrow$ le colonne di P costituiscono un insieme di autovettori l.i. associati ai λ_i
 (cioè ciascuna coppia (λ_i, P_{xi}) è una autocoppia (eigenpair) di A)

PROP Matrici simili hanno gli stessi autovalori

DEF trasformazioni unitarie \rightarrow U è unitaria se $U^H U = I$

Teor. di Schur

Ogni matrice quadrata A è simile ad una matrice triangolare superiore $\forall A \in \mathbb{C}^{n \times n} \exists U \in U_n (U^H U = I = U U^H) \exists T$ triang. sup. s' $U^H A U = T$

Inoltre λ_{ii} sono gli autovalori di A

MOLTEPLICITA'

sia

$$\lambda \in S(A) = \{\lambda_1, \lambda_2, \dots, \lambda_n\}$$

moltiplicità algebrica $\text{alg mult}_A(\lambda)$ è il # di volte in cui λ è ~~auto~~ radice di $p(\lambda)$

moltiplicità geometrica $\text{geo mult}_A(\lambda)$ è $\dim N(A - \lambda I)$

ossia il numero max di ^{auto} Ket. l.i. associati a λ

A si dice semisemplice se $\text{alg mult}_A(\lambda) = \text{geo mult}_A(\lambda)$

in generale

$$\text{geo mult}_A(\lambda) \leq \text{alg mult}_A(\lambda)$$

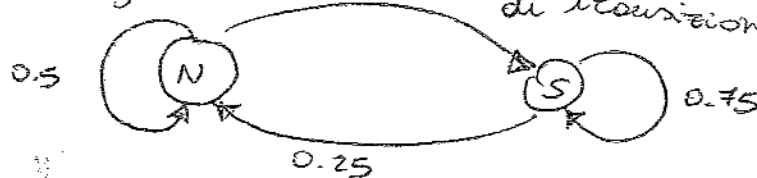
35

un autovalore λ si dice semplice $\text{alg mult}_A(\lambda) = 1$
 (N.B. λ è semplice $\Rightarrow A$ è semisemplice non vale il contrario)

PROP A è diagonalizzabile \Leftrightarrow ogni autovalore di A è semisemplice
 $\text{alg mult}_A(\lambda) = \text{geo mult}_A(\lambda) \quad \forall \lambda \in \sigma(A)$

Modello delle migrazioni di una popolazione

Supponiamo che il grafico delle migrazioni di una popolazione tra due regioni geografiche, p.e. N e S sia il seguente diagramma di transizione



Cioè anno ie 50% della pp. del nord migra a sud
 ie 25 della " del sud " a Nord

Problema: Se il diagramma di transizione rimane invariato la popol. del Nord si sposterà completamente al Sud oppure la distribuzione della popolazione si stabilizzerà prima che il Nord rimanga deserto?

Soluz. Giudichiamo con m_k ed s_k la porzione della pop. totale che vivono al Nord ed al Sud al termine del k anno di osservazione e assumiamo che $m_k + s_k = 1$
 Dal diagramma di transizione risulta che al termine dell'anno $k+1$ si ha

$$\begin{cases} m_{k+1} = 0.5 m_k + 0.25 s_k \\ s_{k+1} = 0.5 m_k + 0.75 s_k \end{cases}$$

$$\Leftrightarrow p_k = \begin{pmatrix} m_k \\ s_k \end{pmatrix}$$

$$p_{k+1} = \begin{pmatrix} 0.5 & 0.25 \\ 0.5 & 0.75 \end{pmatrix} p_k$$

$$p_{k+1} = T p_k$$

T matrice di transizione

Introducendo un settore di popolazione iniziale

(36)

$$P_1 = T P_0 \quad P_2 = T P_1 = T T P_0 = T^2 P_0, \dots \quad P_{k+1} = T P_k = T^k P_0$$

la popolazione dipende dalla potenza della matrice T
Questa sequenza T^1, T^2, \dots, T^k se calcoliamo le matrici prodotto sembra convergere alla matrice

$$T^\infty = \lim_{k \rightarrow \infty} T^k = \begin{pmatrix} \frac{1}{3} & \frac{1}{3} \\ \frac{2}{3} & \frac{2}{3} \end{pmatrix}$$

e quindi la distribuzione della pop. al limite è

$$P_\infty = \lim_{k \rightarrow \infty} P_k = \lim_{k \rightarrow \infty} T^k P_0 = \left(\lim_{k \rightarrow \infty} T^k \right) P_0 = \begin{pmatrix} \frac{1}{3} & \frac{1}{3} \\ \frac{2}{3} & \frac{2}{3} \end{pmatrix} \begin{pmatrix} m_0 \\ s_0 \end{pmatrix} \\ = \begin{pmatrix} \frac{m_0 + s_0}{3} \\ \frac{2(m_0 + s_0)}{3} \end{pmatrix}$$

Questo significa che se il grafico di transizione rimane inalterato la distribuzione della popolazione si stabilizzerà con $\frac{1}{3}$ della pop. nel Nord e $\frac{2}{3}$ nel Sud indipendentemente dalla pop. iniziale.

Se calcolate le potenze di T vi accorgete come le processo si stabilizza dopo circa 5 anni \Rightarrow gli individui continuano a muoversi, ma la porzione della pop. rimane invariata (costante) dopo circa 5 anni.

OSS

Se A è diagonalizzabile

$$A = P D P^{-1} = P \text{diag}(\lambda_1, \dots, \lambda_n) P^{-1}$$

$$\Rightarrow A^k = P D^k P^{-1} = P \text{diag}(\lambda_1^k, \dots, \lambda_n^k) P^{-1}$$

* Se λ_i è un valore proprio di A , λ_i^k è un valore proprio di A^k

Nel nostro esempio $T = \begin{pmatrix} \frac{1}{2} & \frac{1}{4} \\ \frac{1}{2} & \frac{3}{4} \end{pmatrix}$ possiamo calcolare $\lim_{k \rightarrow \infty} T^k$ utilizzando la sua decomposizione spettrale
Calcoliamo gli autovalori di T

$$\lambda_1 = 1 \quad \lambda_2 = \frac{1}{4}$$

gli autovettori associati $\alpha_1 = \begin{pmatrix} 1 \\ 2 \end{pmatrix} \quad \alpha_2 = \begin{pmatrix} 1 \\ 1 \end{pmatrix}$

$$P = [\alpha_1 | \alpha_2]$$

$$\Rightarrow T = P \begin{pmatrix} 1 & 0 \\ 0 & \frac{1}{4} \end{pmatrix} P^{-1}$$

$$\Rightarrow T^k = P \begin{pmatrix} 1^k & 0 \\ 0 & (\frac{1}{4})^k \end{pmatrix} P^{-1}$$

Il problema della migrazione della popolazione è un esempio di una classe più ampia di processi evolutivi noti come catene di Markov per le quali valgono le seguenti osservazioni

per l'esempio

- 1) la velocità con cui il processo evolutivo si stabilizza dipende da quanto $(\frac{1}{n})^k \rightarrow 0$
in altri termini la grandezza dell'autosettore sottodominante determina la velocità di evoluzione
- 2) la distribuzione iniziale p_0 non influenza nel comportamento al limite, ma comunque caratterizza il comportamento transitorio del sistema (almeno per k piccolo)

METODI PER CALCOLO DEGLI AUTOVALORI E/O AUTOVETTORI

Metodo delle potenze per il calcolo dell'autosettore e dell'autosettore dominante \rightarrow metodo iterativo per appross. l'autosettore di modulo max e il suo autosettore associato

Sulla base di questo metodo sono stati sviluppati altri algoritmi adatti ad approssimare autovalori di matrici sparse e di grandi dimensioni. Facile dimostrare la cons. nel caso di matrice diagonalizzabile che abbia un solo autosettore di modulo massimo

Sia $A \in \mathbb{C}^{n \times n}$

$\lambda_1, \lambda_2, \dots, \lambda_n$ con n autospec. x_1, x_2, \dots, x_n l.i. ed autovalori

$$|\lambda_1| > |\lambda_2| \geq \dots \geq |\lambda_n|$$

osservo $\text{mult}(\lambda_1) = 1$ e non esistono altri autovalori con lo stesso modulo (λ_1 reale)

Fissiamo un vettore iniziale $t_0 \in \mathbb{C}^n$ e consideriamo la successione $\{y_k\}$ $k=1, 2, \dots$ definita

$$y_0 = t_0$$

$$y_k = A y_{k-1} \quad k \geq 1$$

x_1, x_2, \dots, x_n sono l.i. $\Rightarrow t_0 = \sum_{i=1}^n \alpha_i x_i$ con gli α_i s' $\alpha_1 \neq 0$

$$\Rightarrow y_k = A y_{k-1} = \dots = A^k y_0 = A^k t_0 = A^k \sum_{i=1}^n \alpha_i x_i = \sum_{i=1}^n \alpha_i A^k x_i =$$

$$\begin{aligned}
&= \sum_{i=1}^n \alpha_i \lambda_i^k x_i = \alpha_1 \lambda_1^k x_1 + \alpha_2 \lambda_2^k x_2 + \dots + \alpha_m \lambda_m^k x_m \\
&= \lambda_1^k \left[\alpha_1 x_1 + \alpha_2 \left(\frac{\lambda_2}{\lambda_1} \right)^k x_2 + \dots + \alpha_m \left(\frac{\lambda_m}{\lambda_1} \right)^k x_m \right] \\
&= \lambda_1^k \left[\alpha_1 x_1 + \sum_{i=2}^n \alpha_i \left(\frac{\lambda_i}{\lambda_1} \right)^k x_i \right]
\end{aligned}$$

Indicando con $y_k(j)$ e $x_i(j)$ la j -sima componente dei vettori y_k e x_i si ha:

$$y_k(j) = (A^k y_0)_j = \lambda_1^k \left[\alpha_1 x_1(j) + \sum_{i=2}^n \alpha_i \left(\frac{\lambda_i}{\lambda_1} \right)^k x_i(j) \right]$$

$$y_{k+1}(j) = \lambda_1^{k+1} \left[\alpha_1 x_1(j) + \sum_{i=2}^n \alpha_i \left(\frac{\lambda_i}{\lambda_1} \right)^{k+1} x_i(j) \right]$$

\Rightarrow Se $x_1(j) \neq 0$

$$\frac{y_{k+1}(j)}{y_k(j)} = \lambda_1 \frac{\alpha_1 x_1(j) + \sum_{i=2}^n \alpha_i \left(\frac{\lambda_i}{\lambda_1} \right)^k x_i(j)}{\alpha_1 x_1(j) + \sum_{i=2}^n \alpha_i \left(\frac{\lambda_i}{\lambda_1} \right)^{k+1} x_i(j)}$$

$$\lim_{k \rightarrow \infty} \frac{y_{k+1}(j)}{y_k(j)} = \lambda_1$$

ossia da un certo indice k in poi l'autovettore dominante può essere approssimato mediante il rapporto tra le componenti dei vettori y_{k+1} ed y_k

Il metodo permette di approssimare anche l'autosec. dominante infelici della relazione

$$y_k = \lambda_1^k \left[\alpha_1 x_1 + \sum_{i=2}^n \alpha_i \left(\frac{\lambda_i}{\lambda_1} \right)^k x_i \right]$$

$$\text{otteniamo } \lim_{k \rightarrow \infty} \frac{y_k}{\lambda_1^k} = \alpha_1 x_1$$

quindi in termini di componenti $\lim_{k \rightarrow \infty} \frac{y_k}{\lambda_1^k} = \frac{x_1}{\lambda_1} \quad \forall j$

Poiché per k suff. elevato l'indice m delle componenti di modulo massimo di y_k rimane costante \Rightarrow la successione

$$\frac{y_k}{y_k^{(m)}} \rightsquigarrow \frac{x_1}{\|x_1\|_2}$$

38

VANTAGGI
DSS \vee Gaussiana iterata richiede solo una moltiplicazione matrice - vettore

SVANTAGGI Se si desiderano gli altri autovalori bisogna fare qualche altra cosa \Rightarrow NON ADATTO A CALCOLARE TUTTI GLI AUTOVALORI

La velocità di convergenza dipende da quanto velocemente $\left(\frac{\lambda_2}{\lambda_1}\right)^k \rightarrow 0 \Rightarrow$ convergenza lenta se $|\lambda_1| \approx |\lambda_2|$

Altre prop. di A e x

$$A \in \mathbb{C}^{n \times n}$$

A nonsingolare $\Leftrightarrow \det(A) \neq 0 \Leftrightarrow \det(A) = \prod_{i=1}^n \lambda_i \Leftrightarrow \lambda_i \neq 0$

1) (λ, x) è una autocoppia di $A \Leftrightarrow (\lambda^{-1}, x)$ è autocoppia di A^{-1}

2) $\forall \alpha \notin \sigma(A)$ x è autovettore di $A \Leftrightarrow x$ è autovett. di $(A - \alpha I)^{-1}$

dim

$$Ax = \lambda x \Leftrightarrow Ax - \alpha x = \lambda x - \alpha x \Leftrightarrow (A - \alpha I)x = (\lambda - \alpha)x$$

$$\Leftrightarrow (\lambda - \alpha)^{-1}x = (A - \alpha I)^{-1}x$$

Varianti del metodo delle potenze: Metodo delle potenze inverse

• Assegnata una $\alpha \notin \sigma(A)$ di un $\lambda \in \sigma(A)$ l'algoritmo del metodo delle pot. inverse permette di calcolare una autocoppia (λ, x) per una matrice diagonalizzabile $A \in \mathbb{C}^{n \times n}$ applicando il metodo delle potenze alla matrice $B = (A - \alpha I)^{-1}$

Se $|\lambda - \alpha| < |\lambda_i - \alpha| \quad \forall \lambda_i \in \sigma(A)$ allora

$\Rightarrow (\lambda - \alpha)^{-1}$ è l'autovalore dominante di $B = (A - \alpha I)$ infatti

$$|\lambda - \alpha|^{-1} > |\lambda_i - \alpha|^{-1}$$

Quindi applicando il metodo delle potenze a B si può calcolare la coppia (λ, x) . In particolare considerato uno vettore iniziale $x_0 \notin R(B - \lambda I)$ il metodo delle potenze inverso è

$$(A - \alpha I) y_k = x_{k-1}$$

$$x_k = \frac{y_k}{\beta_k}$$

con β_k scalare s' $\|x_k\|_{\infty} = 1$

oss Ad ogni passo il metodo richiede la risol. del sistema lineare \Rightarrow poiché la matrice dei coeff. rimane invariata conviene applicare la fett. LU

SVANTAGGI

: Solo una coppia può essere calcolata
serve ogni volta una approx di λ
Convergenza (lenta) che dipende da

$$\text{quanto } \left| \frac{\lambda - \alpha}{\lambda_i - \alpha} \right|^n \rightarrow 0$$

... argomento nk per il calcolo degli autovalori di A

(41)

Idea: assegnata una generica matrice $A \in \mathbb{R}^{n \times n}$ l'idea è quella di alterare il calcolo dei fattori della fatt. QR e di scambiare l'ordine del loro prodotto \rightarrow generare un meccanismo per trasformare la matrice A in una matrice simile con struttura triangolare

Sia $A_1 \equiv A \in \mathbb{R}^{n \times n}$

costruiamo la fatt. QR di A_1 :

$$A_1 = Q_1 R_1$$

poniamo

$$A_2 = R_1 Q_1$$

" " " " QR di A_2 :

$$A_2 = Q_2 R_2$$

poniamo

$$A_3 = R_2 Q_2$$

In generale

fattori della fatt. QR di A_k

$$A_{k+1} = R_k Q_k$$

con R_k e Q_k

Osserviamo che posto

$$P_k = Q_1 Q_2 \dots Q_k$$

P_k è una matrice ortogonale che permette di esprimere ogni matrice A_k in modo simile ad A :

Infatti risulta da

$$A_k = Q_k R_k$$

$$A_{k+1} = R_k Q_k$$

$$\Rightarrow$$

$$A_k = Q_k R_{k+1} Q_k^T$$

$$R_k = A_{k+1} Q_k^T$$

\Rightarrow le matrici della succ. $\{A_k\}$ sono tutte simili tra di loro.

Sotto opportune ipotesi la succ. converge ad una matrice triangol. sup. di A con elem. diag. gli autoval. di A .

U

Teorema di convergenza per il metodo QR

TEOR. $A \in \mathbb{C}^{n \times n}$ si abbiano tutti moduli distinti
 $|\lambda_1| > |\lambda_2| > \dots > |\lambda_n| > 0$

Moltiplicata con X la matrice degli autovettori di A si

$$A = XDX^{-1} \quad \text{con } D = \text{diag}(\lambda_1, \dots, \lambda_n)$$

Si supponga che \exists una fatt. LU della matrice X^{-1}

Allora $\exists \{S_k\}_k$ successioni di matrici t.c. (S_k sono matrici di fase)

$$\lim_k S_k^H R_k S_{k-1} = \lim_{k \rightarrow \infty} S_{k-1}^H A_k S_{k-1} = T$$

$$\lim_k S_{k-1}^H Q_k S_k = I$$

con T matrice triang. sup. con elementi diagonali uguali a i
 Quindi gli elementi diagonali di A_k tendono agli autovalori di A

Se A è hermitiana ($A^H = A$) allora T è diagonale.

- Costo computazionale

Il metodo QR applicato ad una matrice $n \times n$ richiede ad ogni passo $O(n^3)$ operazioni moltiplicative

Per ridurre il costo computazionale generalmente si trasforma la matrice A in una matrice in forma di Hessenberg superiore

DEF Si dice una matrice $H \in \mathbb{C}^{n \times n}$ è detta di Hessenberg sup
 Se $h_{ij} = 0 \quad \forall j \leq i-2$ ovvero $H = \begin{pmatrix} h_{11} & & & \\ h_{21} & h_{22} & & \\ 0 & h_{31} & h_{32} & h_{33} \\ \vdots & \vdots & \vdots & \vdots \\ 0 & 0 & & \end{pmatrix}$
 $\begin{matrix} h_{11} \\ h_{21} & h_{22} \\ h_{31} & h_{32} & h_{33} \\ & h_{42} & h_{43} & h_{44} \\ & & h_{53} & h_{54} & h_{55} \end{matrix}$

- Velocità di convergenza

La velocità di convergenza del metodo QR (nella ip. del teo. di convergenza) dipende dai rapporti

$$\left| \frac{\lambda_i}{\lambda_j} \right| \quad \forall i > j \quad \text{e quindi } |\lambda_1| > |\lambda_2| > \dots$$

del numero

$$\max_{1 \leq i \leq m-1} \left| \frac{\lambda_{i+1}}{\lambda_i} \right| \quad (*)$$

Se tale rapporto è vicino ad 1 la convergenza può essere lenta. Per accelerare si utilizza una tecnica di traslazione dello spettro di A , detta "tecnica dello shift".

Sia μ una approx di $\lambda \in \sigma(A)$, e consideriamo la matrice $A - \mu I$. Applichiamo il metodo QR a quest'ultima matrice (che ha autoval. $\lambda - \mu$)

$$\begin{cases} A_k - \mu I = Q_k R_k \end{cases} \quad (1)$$

$$\begin{cases} A_{k+1} = R_k Q_k + \mu I \end{cases} \quad (2)$$

~~non si può dire che A_{k+1} è simile ad A_k~~

da (1) $\Rightarrow R_k = Q_k^H (A_k - \mu I)$ sostituiamo in (2)

$$A_{k+1} = Q_k^H (A_k - \mu I) Q_k + \mu I = Q_k^H A_k Q_k - \mu I + \mu I$$

A_{k+1} è simile ad A_k attraverso una matrice unitaria

SS

Poiché gli autovalori di $A - \mu I$ sono del tipo $\lambda_i - \mu$ la velocità di convergenza è regolata dalla (*) si può scegliere il parametro μ in modo da acc. la conv. del metodo QR con shift

insieme scegliere $\mu \approx \lambda_m$